

7. Панин В. Е., Лихачев В. А., Гриняев Ю. В. Структурные уровни деформации твердых тел.— Новосибирск: Наука, 1985.
8. Аэро Э. Л., Булыгин А. Н. Гидромеханика жидких кристаллов // Итоги науки и техники. Сер. Гидромеханика.— М.: ВИНТИ, 1973.— Т. 7.
9. Новацкий В. Теория упругости.— М.: Мир, 1975.
10. Зубов Л. М. О дислокациях Вольтерра в нелинейно-упругих телах // ДАН СССР.— 1986.— Т. 287, № 3.
11. Гантмахер Ф. Р. Теория матриц.— М.: Наука, 1967.
12. Зубов Л. М., Карякин М. И. Многочленные смещения и дислокации Вольтерра в плоской нелинейной теории упругости // ПМТФ.— 1987.— № 6.
13. Nowacki W. On discrete dislocations in micropolar elasticity // Arch. Mech.— 1974.— V. 26, N 1.
14. Зубов Л. М. Теория дислокаций Вольтерра в нелинейно-упругих телах // Изв. АН СССР. МТТ.— 1987.— № 5.

г. Ростов-на-Дону

Поступила 12/VII 1988 г.

УДК 620.171.5

В. М. Тихомиров, В. П. Тырин

### ИСПОЛЬЗОВАНИЕ МЕТОДА РАССЕЯННОГО СВЕТА ДЛЯ ОПРЕДЕЛЕНИЯ КОЭФФИЦИЕНТА ИНТЕНСИВНОСТИ НАПРЯЖЕНИЙ $K_{III}$ В ТРЕХМЕРНЫХ ЗАДАЧАХ

Для экспериментального определения коэффициента интенсивности напряжений (КИН)  $K_{III}$  при исследовании объемных элементов конструкций с поверхностными или внутренними трещинами используются методы «замораживания» деформаций [1, 2] и рассеянного света [3]. Метод рассеянного света обладает большими потенциальными возможностями и существенными преимуществами перед методом «замораживания», позволяя получать необходимые данные без разрезки модели. Однако из-за сложности эксперимента и интерпретации измеряемых величин этот метод не получил широкого применения. Например, в [3] предлагается просвечивать модель в плоскости, перпендикулярной фронту трещины, лучом света, пересекающим вершину трещины. Такая схема просвечивания требует тщательного подбора иммерсионной жидкости и обработки поверхности берегов трещины, а также вращения модели или установки вокруг точки пересечения лучом фронта трещины.

В настоящей работе описывается более простая методика проведения эксперимента, позволяющая перенести способы обработки экспериментальных данных для определения КИН, известные в плоской фотоупругости, на случай определения  $K_{III}$  для пространственных трещин.

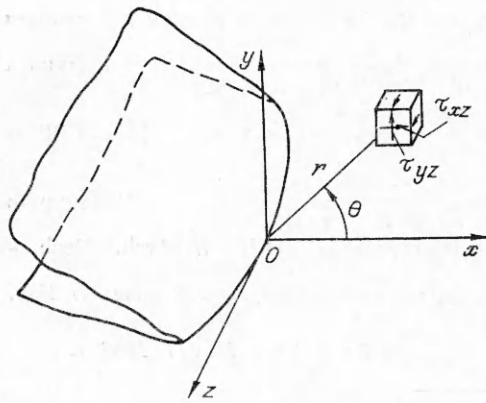
При продольном сдвиге напряжения вблизи вершины трещины выражаются следующим образом [4]:

$$(1) \quad \begin{aligned} \sigma_x = \sigma_y = \sigma_z = \tau_{xy} = 0, \\ \tau_{xz} = K_{III} (2\pi r)^{-1/2} \sin(\theta/2), \quad \tau_{yz} = K_{III} (2\pi r)^{-1/2} \cos(\theta/2), \end{aligned}$$

где  $x, y, z$  — ортогональная система координат, ориентированная таким образом, что ось  $z$  является касательной к фронту трещины в точке  $O$  (рис. 1);  $r, \theta$  — полярные координаты.

Так как по методу рассеянного света измеряется величина оптической разности хода лучей света, обусловленная разностью квазиглавных напряжений, которые действуют в плоскости, перпендикулярной просвечиваемому лучу, то наиболее эффективными будут просвечивания в плоскости  $xOy$ , параллельные оси  $x$ . Важным обстоятельством является то, что направления главных напряжений не меняют своей ориентации вдоль этих направлений (отсутствует вращение главных осей). В этом случае порядок полосы интерференции  $m_{ij}$  для точки  $x_i$ , взятой на луче  $y = y_j$ , связан с напряжениями зависимостью

$$(2) \quad m_{ij} = 2C \int_{x_0}^{x_i} \tau_{yz} dx$$



Р и с. 1

( $x_0$  — координата точки входа луча света ( $y = y_j$ ) в модель,  $C$  — оптико-механическая постоянная материала модели).

Направления главных напряжений ориентированы одинаково во всех точках плоскости  $xOy$ , что позволяет регистрировать картину полос интерференции при просвечивании этой плоскости пожом поляризованного света, направленным вдоль оси  $x$ . При этом пучок света располагается выше или ниже трещины и не пересекает ее фронт. Выбрав  $n$  точек на прямых, параллельных оси  $x$  ( $y = \text{const}$ ), с известными значениями

порядка полосы интерференции и принимая во внимание соотношения (1) и (2), имеем

$$(3) \quad K_{\text{III}} = \frac{1}{n} \sum_{j=1}^k \sum_{i=1}^{l_j} \frac{\Delta m_{ij}}{\int_0^{x_i} f(x, y_j) dx}$$

где  $k$  и  $l_j$  — количество прямых  $y = \text{const}$  и точек на них, взятых в расчет;  $n = \sum_{j=1}^k l_j$ ;  $\Delta m_{ij} = m_{0j} - m_{ij}$  ( $m_{0j}$  — порядок полосы на прямой  $y_j$

при  $x = 0$ );  $f(x, y_j) = C \left[ \frac{y_j + (x^2 + y_j^2)^{1/2}}{2\pi(x^2 + y_j^2)} \right]^{1/2}$ . Формула (3) предполагает

определение  $K_{\text{III}}$  самым простым способом обработки экспериментальной информации. Однако возможность получения большого числа экспериментальных данных  $\Delta m_{ij}$  по одной картине полос позволяет применить и более сложные методы обработки.

Описанный способ основан на решении (1), справедливом в ограниченной зоне у вершины трещины. При изготовлении модели трещина, как правило, имитируется надрезом [3] (поверхностная) или полостью с антиадгезионной вставкой [5] (внутренняя). В том и другом случае радиус закругления  $\rho$  в вершине «трещины» имеет вполне конкретную величину, что искажает поле моделируемых напряжений и приводит к существенным ошибкам. Учесть влияние  $\rho$  можно, использовав решение о кручении бесконечного осесимметричного тела с внешним гиперболическим вырезом [6]:

$$(4) \quad \tau_{yz} = \frac{3p(\sqrt{a/\rho} + 1) \sqrt{a/\rho}}{4(2\sqrt{a/\rho} + 1)(\sqrt{a/\rho} + 1 - 1)} \frac{\sin v \cos v}{(\text{sh}^2 u + \cos^2 v) \text{ch} u}$$

Здесь  $a$  — радиус неповрежденной части;  $p$  — параметр нагрузки;  $u$ ,  $v$  — эллиптические координаты. В нашем случае связь между системами координат запишем как

$$x = a(\text{sh} u \cos v - 1), \quad y = a \text{ch} u \sin v.$$

Подберем параметры  $a$  и  $p$  так, чтобы напряжения в модели и теле с гиперболическим вырезом в некоторой области совпадали, принимая при этом, что величина  $\rho$  для выреза равна радиусу закругления вершины «трещины» в модели, т. е. по измеренным в  $n$  точках плоскости  $xOy$  поряд-

кам полос минимизируем функцию

$$(5) \quad F(a, p) = \sum_{j=1}^k \sum_{i=1}^{l_j} \left[ \Delta m_{ij} - 2C \int_0^{x_i} \tau_{yz}(a, p) dx \right]^2$$

( $\tau_{yz}$  определяется по (4)).

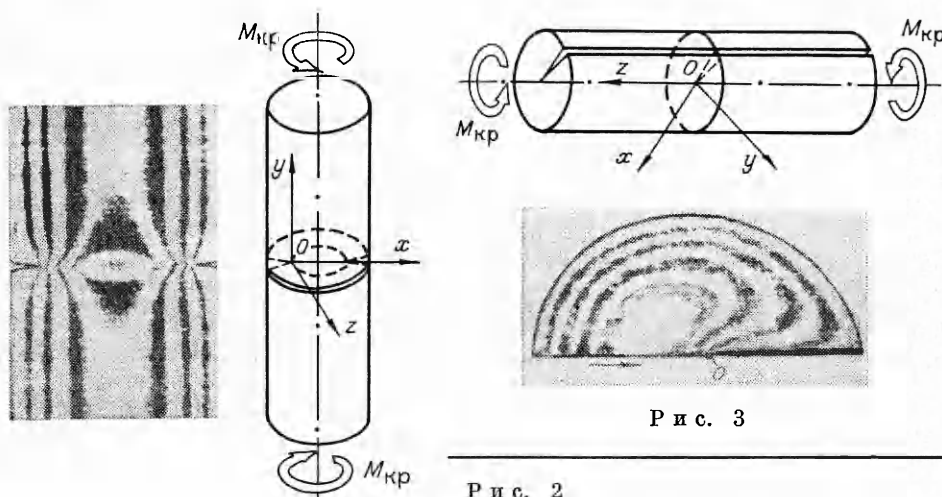
Таким образом, по величинам  $a^*$  и  $p^*$ , соответствующим минимуму  $F(a, p)$ , предполагая, что предельный переход по напряжениям от тела с гиперболическим вырезом к телу с внешней кольцевой трещиной подобен переходу от модели с надрезом к расчетному элементу конструкции с трещиной, имеем

$$(6) \quad K_{III} = (3/8)p^* \sqrt{\pi a^*}.$$

Для проверки точности изложенной методики были исследованы следующие тестовые задачи: кручение цилиндра с кольцевой трещиной и цилиндра с радиальной трещиной. С этой целью изготовлены две модели.

Первая модель — цилиндр диаметром 37,6 мм с кольцевым надрезом глубиной 5 мм, радиус закругления в вершине которого  $\rho_1 = 0,05$  мм (рис. 2). Материал модели — эпоксидный компаунд на основе смолы ЭД-16, для которого  $C_1 = 13,5$  кН/м. Вторая модель из полиуретана СКУ-6 — цилиндр диаметром 44 мм — имела радиальный надрез глубиной 22 мм по всей длине образующей (рис. 3). Надрез в образце изготавливался в два этапа. Сначала осуществлялась заливка полиуретанового компаунда с последующей полимеризацией в форме цилиндра с радиальным вырезом глубиной 18 мм и шириной 0,5 мм, затем острым лезвием производился надрез до необходимой глубины. При этом  $\rho_2 = 0,1$  мм. Такой способ изготовления трещины позволил исключить трение по большей поверхности ее берегов при кручении модели. Оптико-механическая постоянная материала СКУ-6  $C_2 = 0,239$  кН/м.

Исследования проводились на установке рассеянного света, состоящей из следующих оптических элементов: источник поляризованного света He — Ne-лазер ЛГ-75; полуволновая пластинка для поворота плоскости поляризации света; две цилиндрические линзы и щелевая диафрагма, преобразующие луч света в световой нож шириной 37 мм и толщиной до 0,5 мм; модель в иммерсионной ванне, прикрепленной к нижнему захвату нагруженного устройства; фотоприемник для регистрации интерференционных картин. В соответствии с описанной методикой модели просвечивались ножом поляризованного света в плоскости  $xOy$  (см. рис. 2 и 3). Картины интерференции регистрировались в направлении  $Oz$  для первой модели и под углом  $70^\circ$  к плоскости  $xOy$  — для второй. На рис. 2 приведена картина полос, наблюдаемая в первой модели, нагруженной



Р и с. 3

Р и с. 2

Номер модели	$M_{кр}, Н \cdot м$	$r, мм$	$n$	$K_{III}$	$K_{III}^T$	$\delta, \%$
				$Н/мм^{3/2}$		
I	14,4	3,0 (1,5)	25 (10)	8,06 (8,51)	7,81	3,1 (8,8)
	19,2	3,0 (1,5)	25 (10)	10,93 (9,85)	10,43	4,8 (-5,5)
	24,0	3,0 (1,5)	25 (10)	13,40 (13,66)	13,04	3,1 (5,0)
II	0,87	2,0 (1,0)	20 (10)	0,384 (0,346)	0,371	3,5 (-6,7)

крутящим моментом  $M_{кр} = 2,4$  Н·м, и совмещенная для двух положений светового ножа: выше и ниже плоскости трещины. Картина полос во второй модели показана на рис. 3 ( $M_{кр} = 0,87$  Н·м; стрелкой обозначено направление просвечивания; точка  $O$  соответствует вершине трещины).

При каждом нагружении для увеличения числа полос интерференции регистрировали картины полос целых и половинных порядков. Затем в области у вершины надреза выбирали 30 точек, для которых снимали координаты  $x, y$  и определяли величины  $\Delta t$ . Далее брали 10 точек, лежащих как можно ближе к окружности радиусом  $r$  с центром в вершине надреза, и производили расчет  $K_{III}$  по формулам (5), (6) или (3). Изменяя радиус окружности, строили зависимость  $K_{III}$  от  $r$ . Размеры области, по точкам которой регистрируется наиболее достоверная информация о величине искомого КИН, были равны размерам участка кривой  $K_{III}(r)$ , где  $K_{III} \cong \text{const}$ . Окончательно значение КИН  $K_{III}$  подсчитывали с учетом всех точек измерений, принадлежащих этой области.

Результаты представлены в таблице. Здесь в скобках приведены величины, отвечающие расчетам  $K_{III}$  по формуле (3). Теоретические значения КИН  $K_{III}^T$  получены по формулам, взятым из [7] (для первой модели) и [4] (для второй). Как видно из таблицы, учет радиуса закругления у вершины надреза позволяет примерно в 2 раза увеличить размер области измерений. В итоге повышается точность регистрации координат и увеличивается число точек измерений, что в конечном счете приводит к повышению точности определения КИН  $K_{III}$ .

#### ЛИТЕРАТУРА

1. Lai Zhegmei, Sun Ping. Photoelastic determination of mixed-mode stress-intensity factors  $K_I, K_{II}$  and  $K_{III}$  // *Exper. Mech.* — 1983. — V. 23, N 6.
2. Сорокатый Ю. И., Божидарник В. В., Налобин А. П. Фотоупругое определение коэффициента интенсивности напряжений  $K_{III}$  // *Вестн. Львов. политехи. ин-та.* — 1987. — № 210.
3. Разумовский И. А. Определение коэффициентов интенсивности напряжений  $K_I, K_{II}$  и  $K_{III}$  поляризационно-оптическими методами в однородных и кусочно-однородных деталях и образцах с трещинами // *Завод. лаб.* — 1988. — Т. 54, № 10.
4. Черепанов П. П. *Механика хрупкого разрушения.* — М.: Наука, 1974.
5. Костенко Н. А., Бойченко Ю. А., Минченков О. С. и др. Создание систем внутренних трещин в объемных моделях // *Завод. лаб.* — 1988. — Т. 54, № 2.
6. Нейбер Г. Концентрация напряжений. — М.: Гостехиздат. — 1947.
7. Андрейкив А. Е. *Пространственные задачи теории упругости трещин.* — Киев: Наук. думка, 1982.

г. Новосибирск

Поступила 12/XII 1988 г.